

1/18

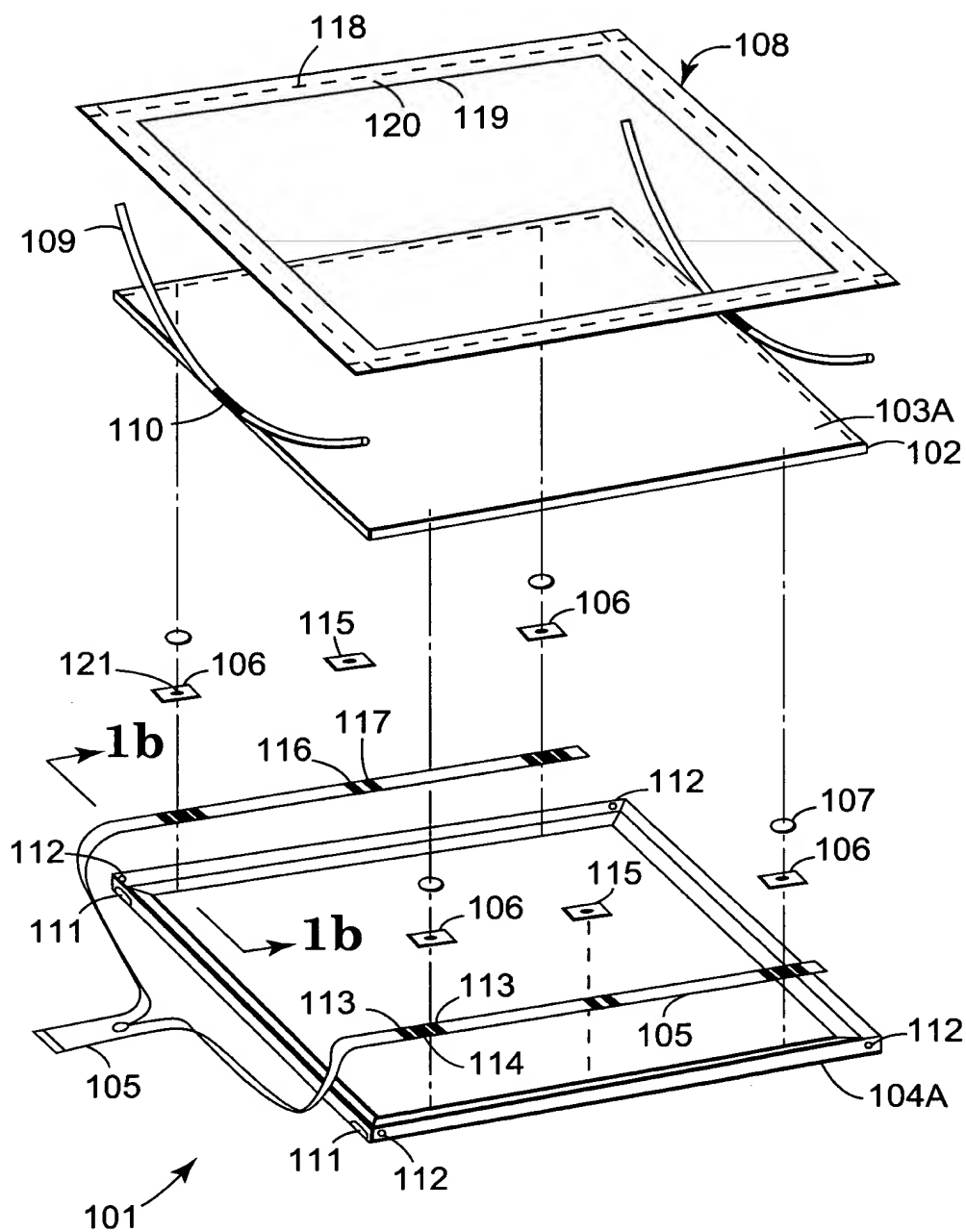


Fig. 1

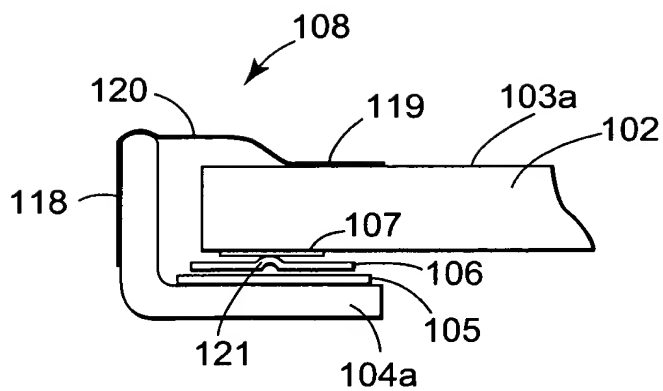


Fig. 1B

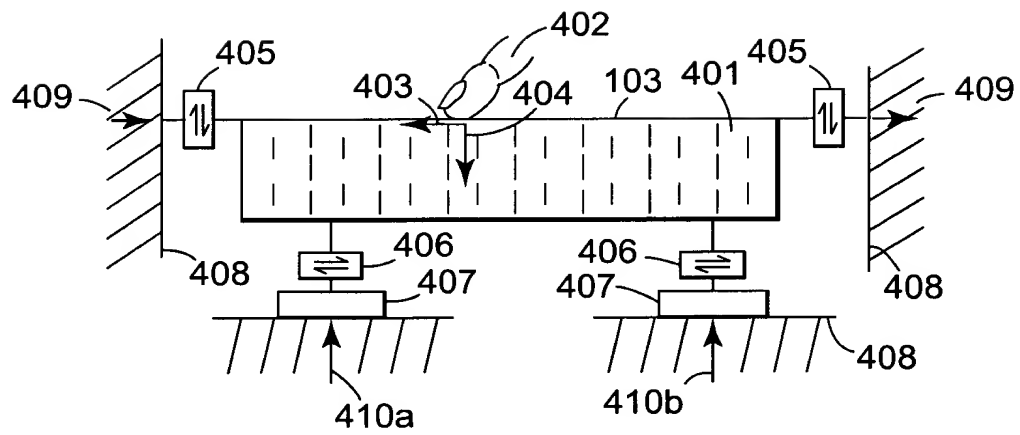


Fig. 2

4/18

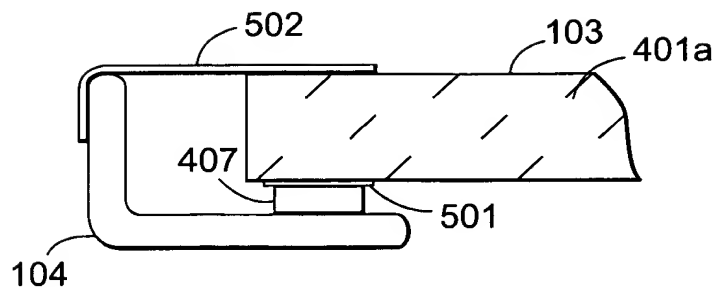


Fig. 3A

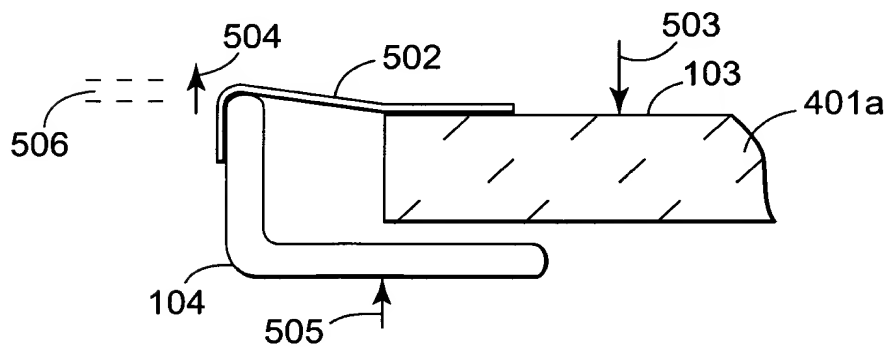


Fig. 3B

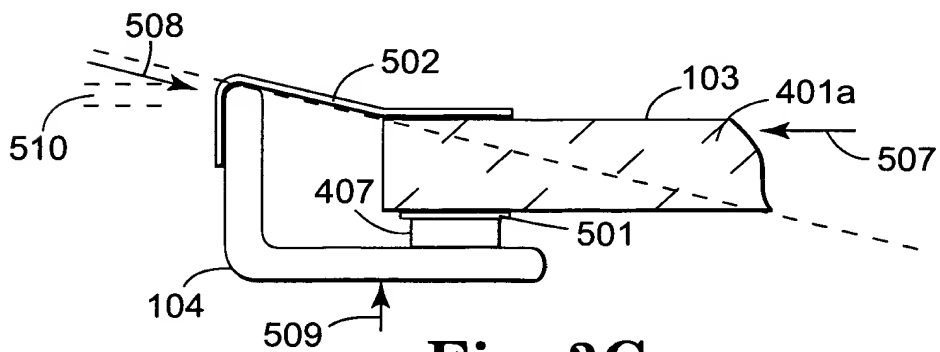


Fig. 3C

5/18

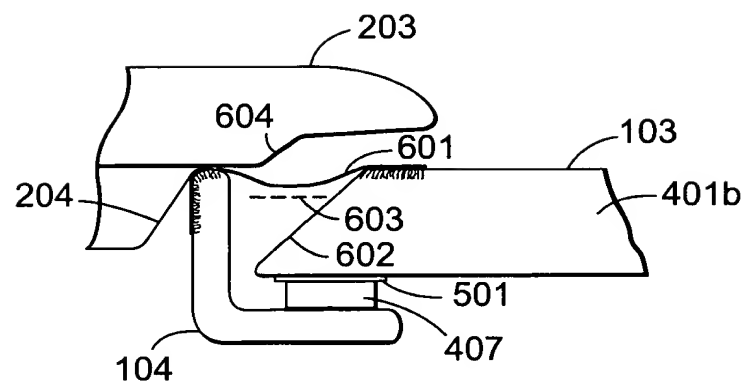


Fig. 4

6/18

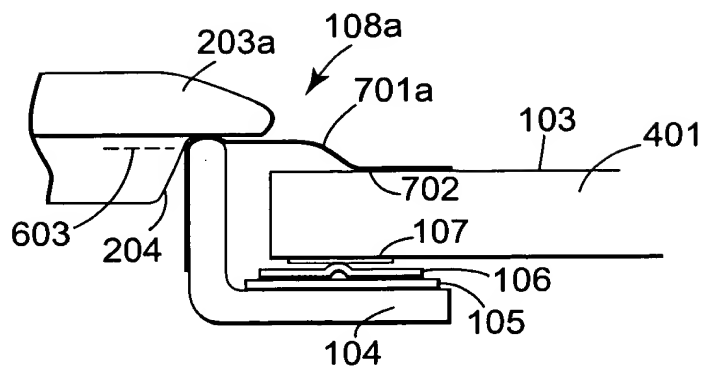


Fig. 5A

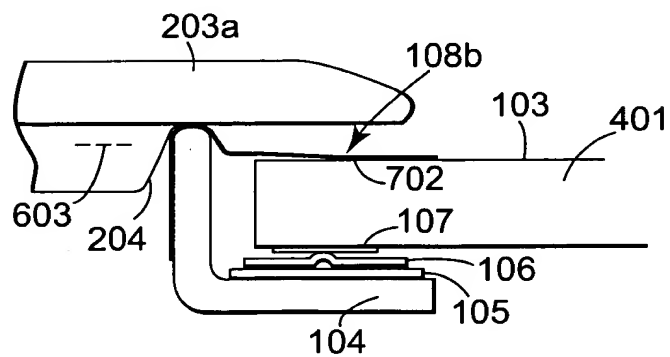


Fig. 5B

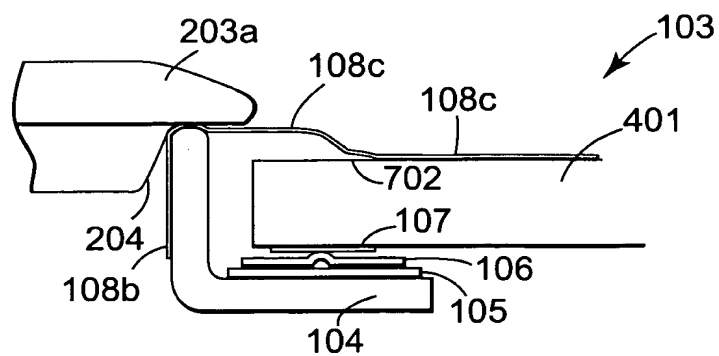


Fig. 5C



7/18

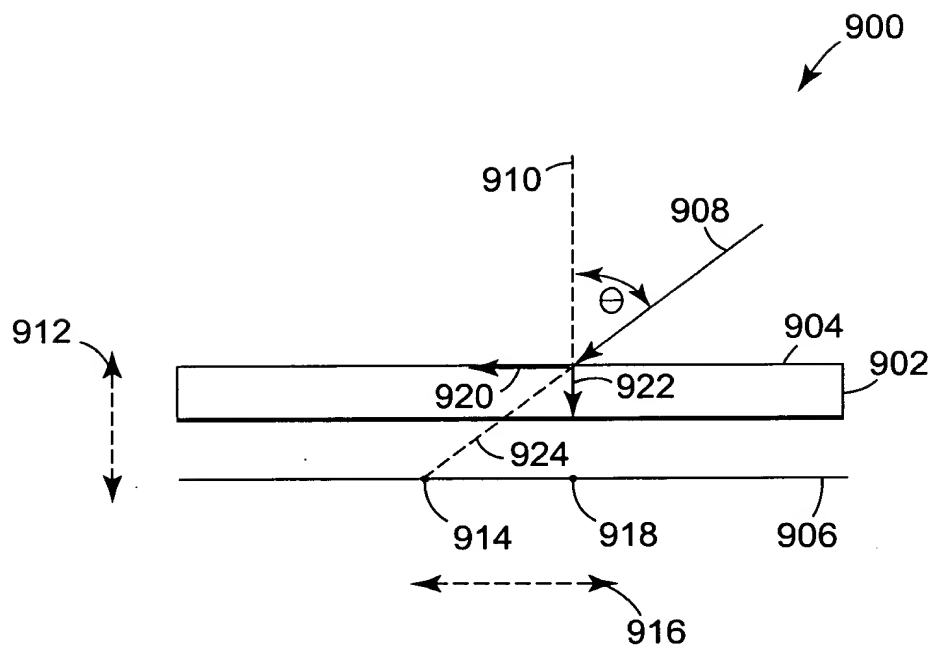


Fig. 6A
(PRIOR ART)

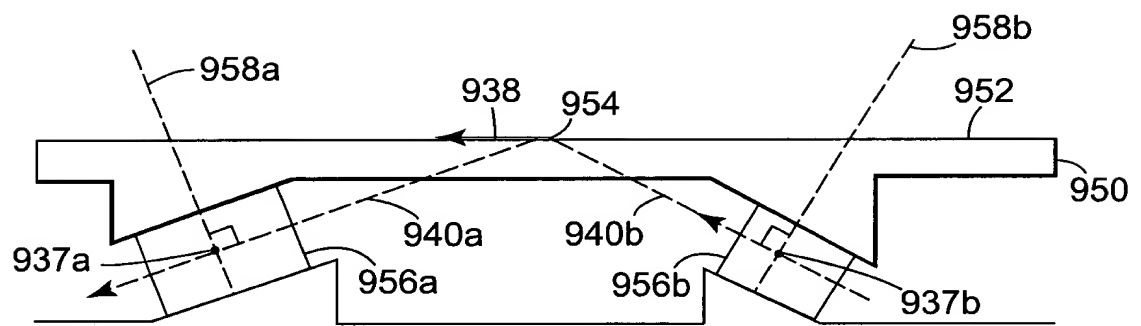


Fig. 6B

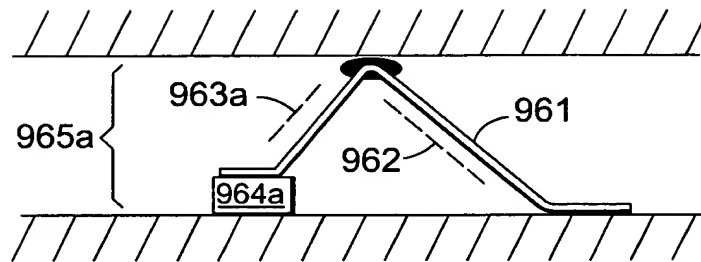


Fig. 6C

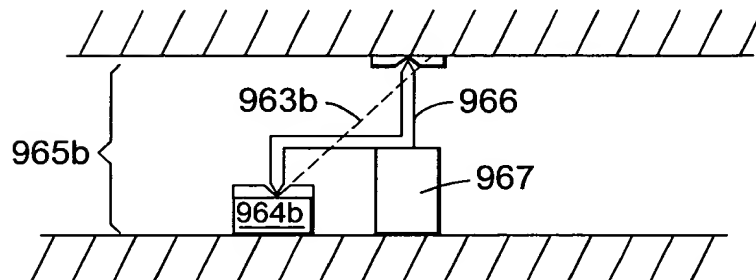


Fig. 6D

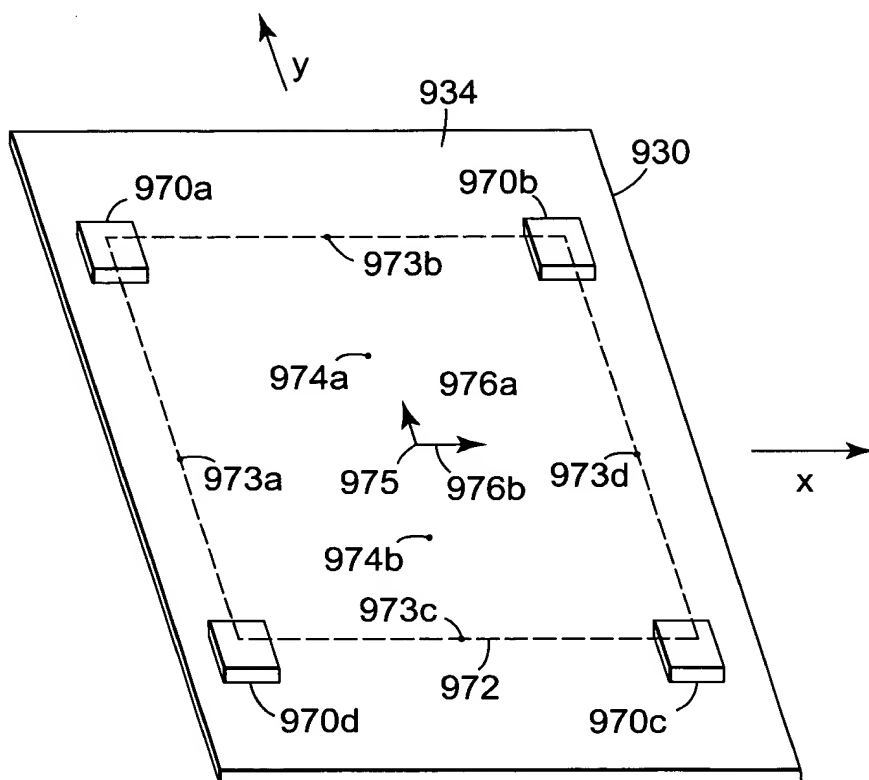


Fig. 6E

11/18

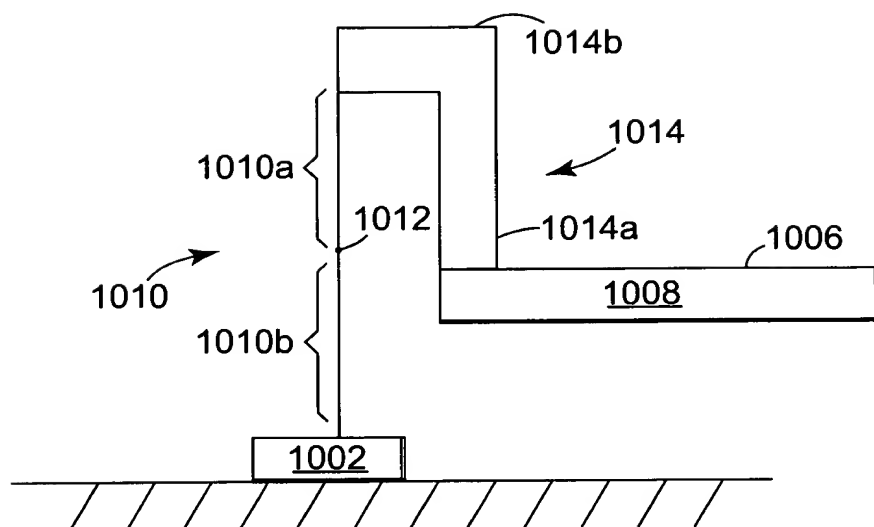


Fig. 7A

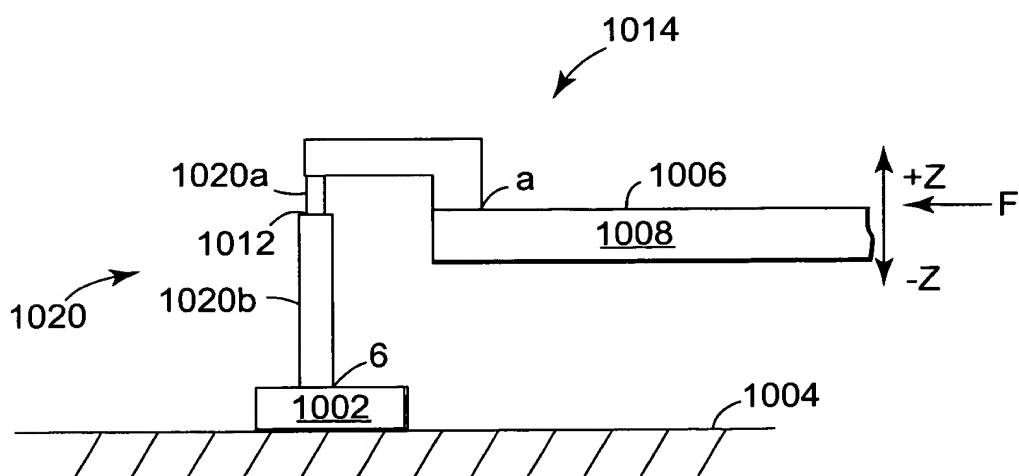


Fig. 7B

12/18

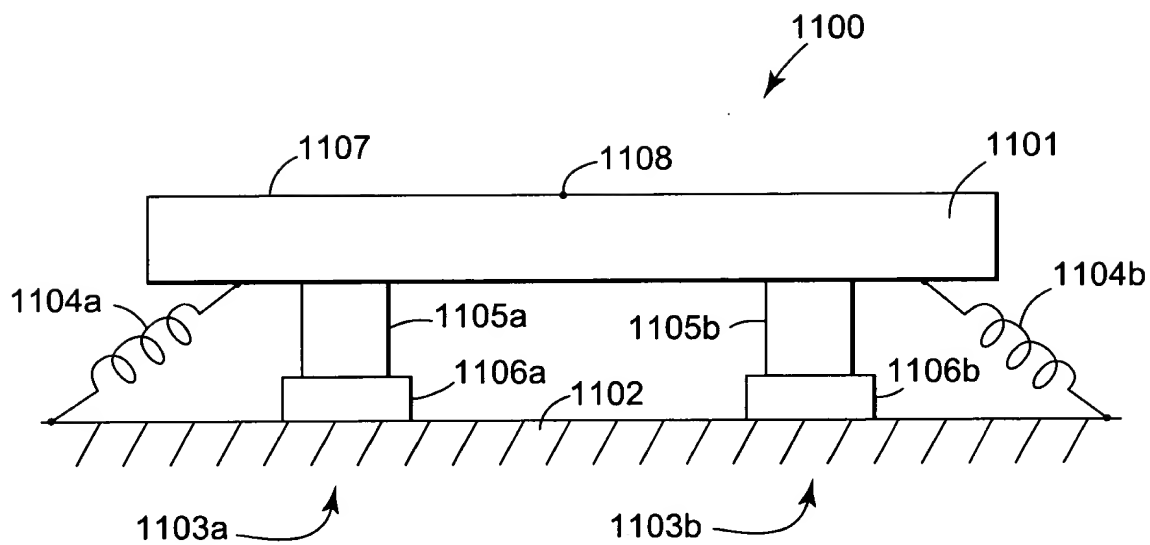


Fig. 8A

13/18

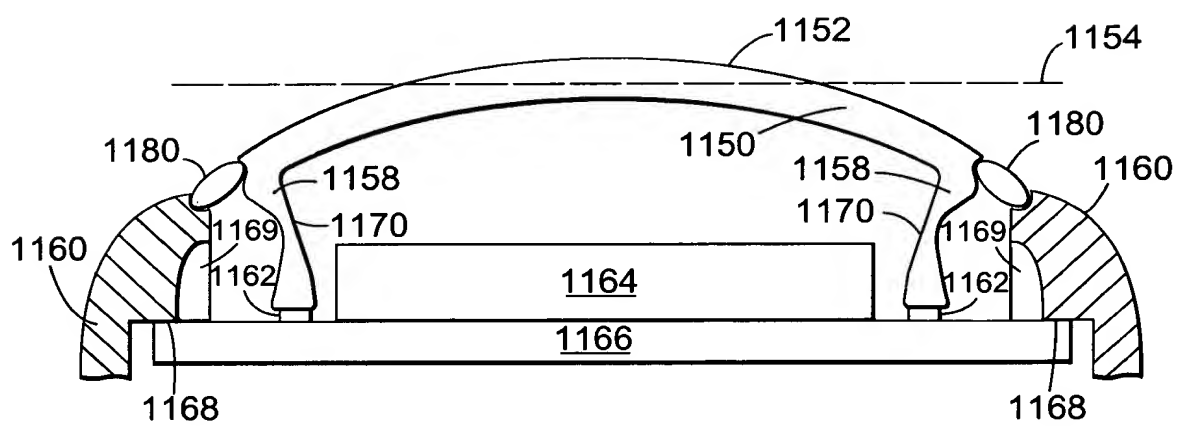


Fig. 8B

14/18

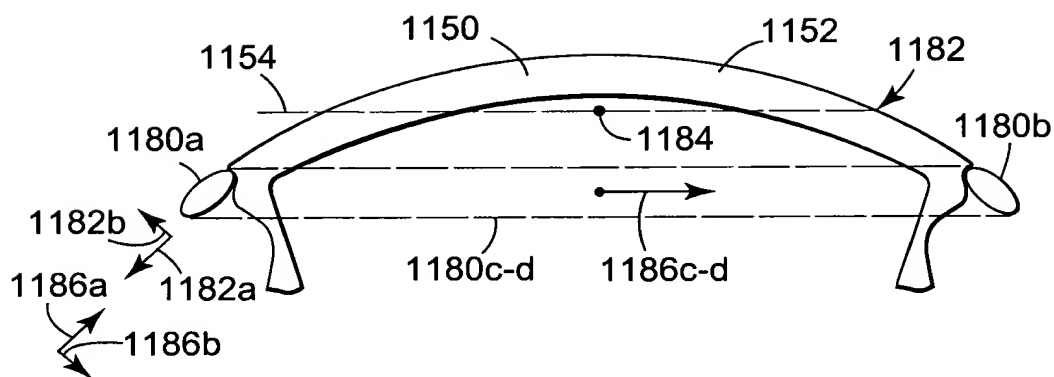


Fig. 8C

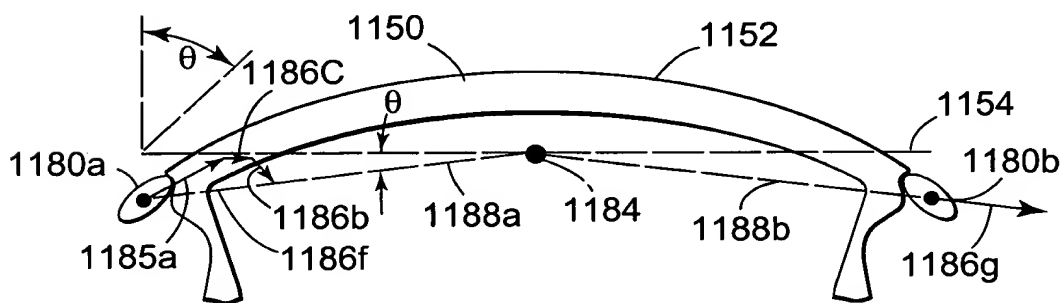


Fig. 8D

15/18

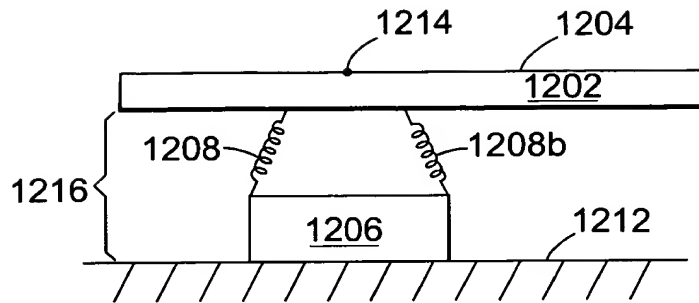


Fig. 9A

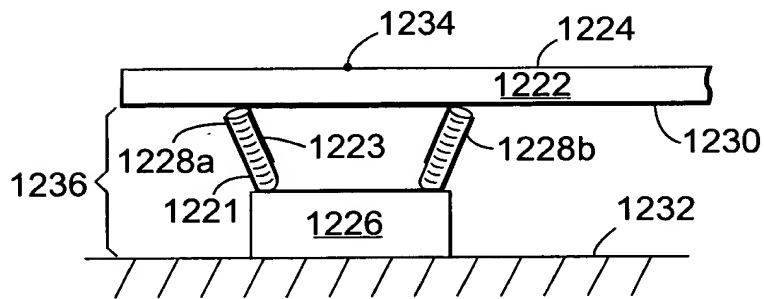


Fig. 9B

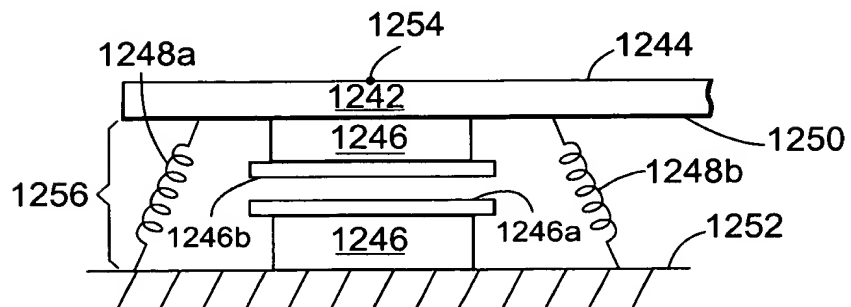


Fig. 9C

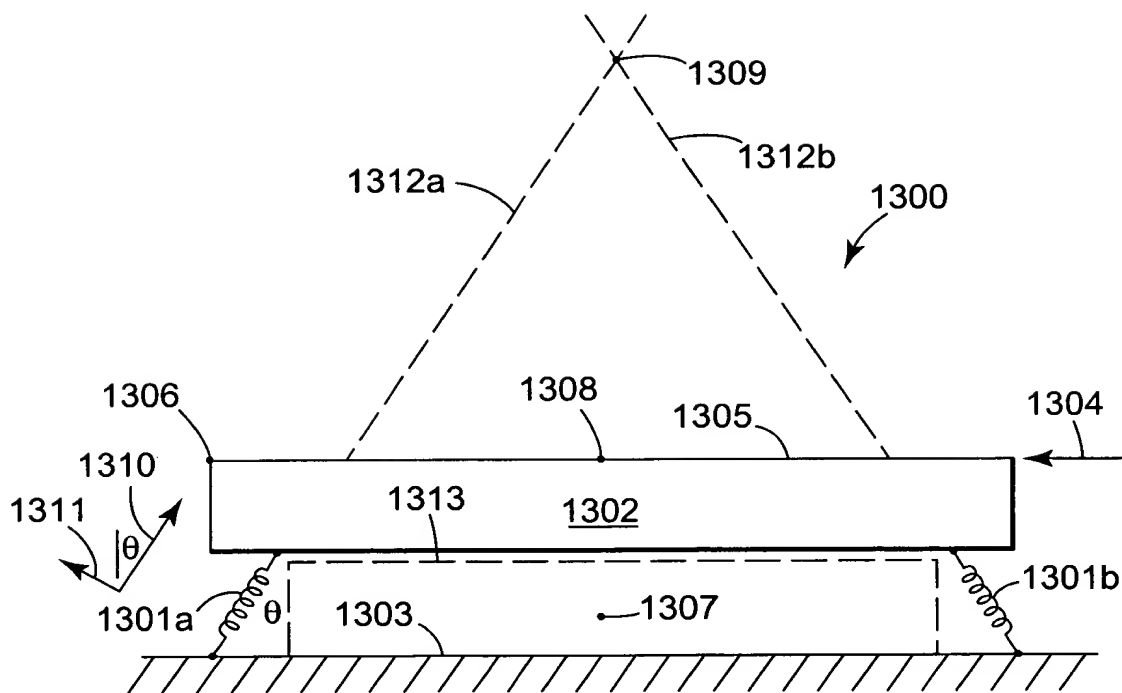


Fig. 10A



17/18

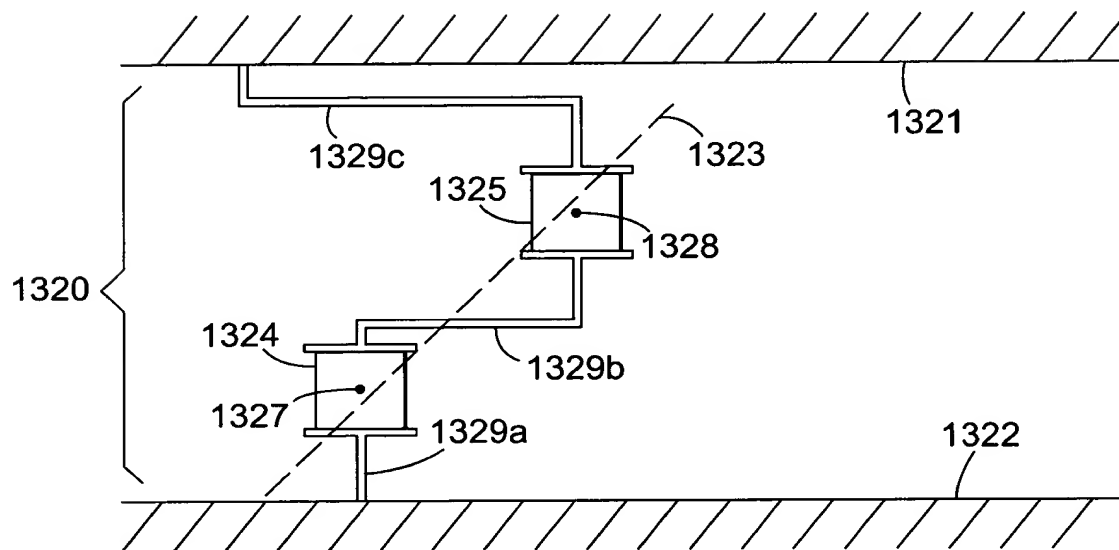


Fig. 10B

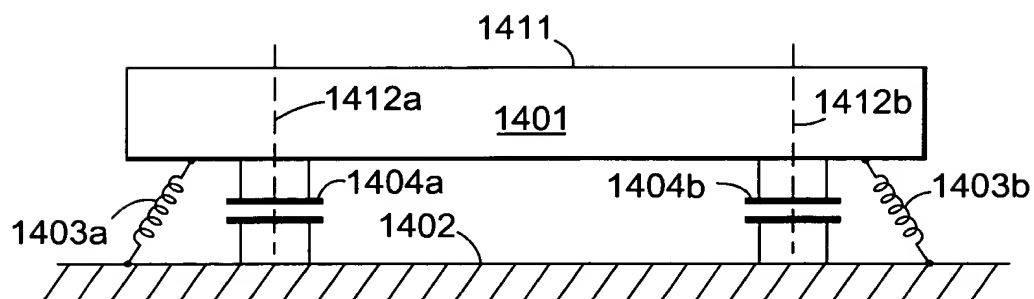


Fig. 11

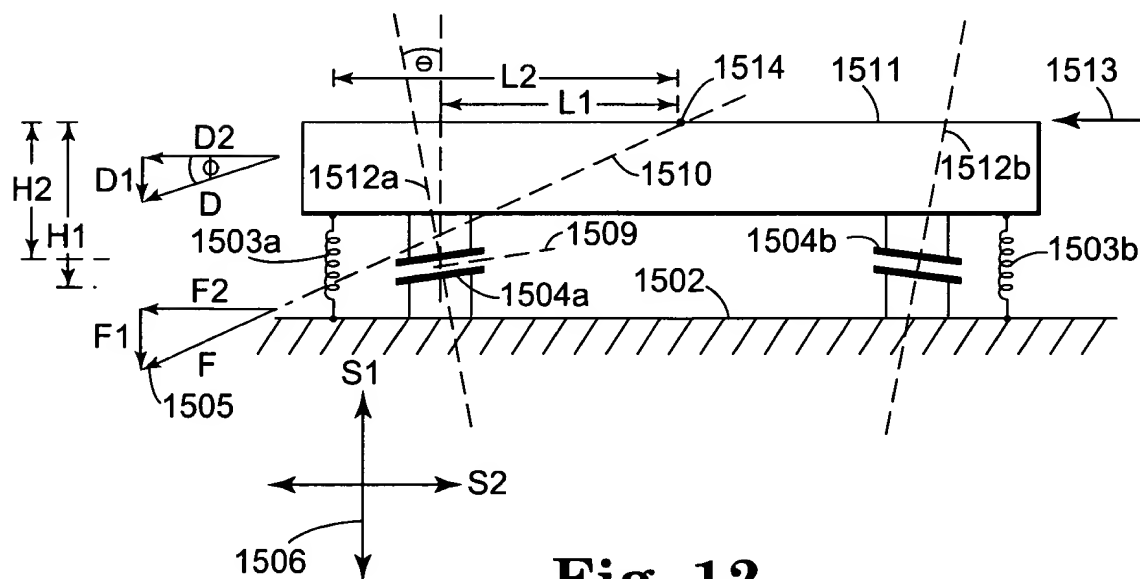


Fig. 12